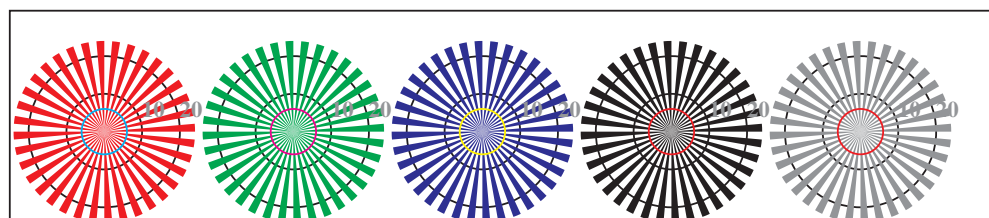


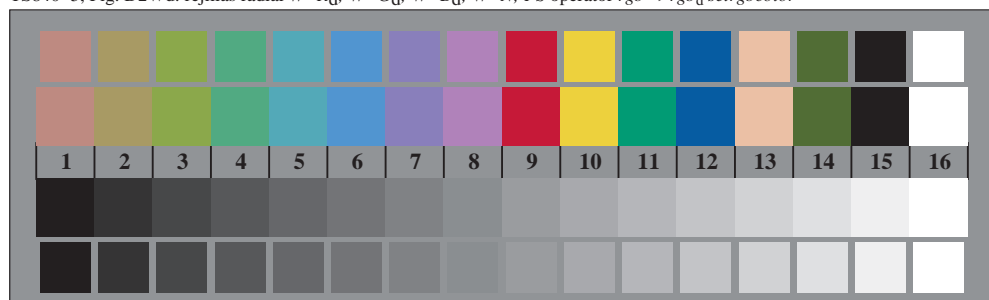
TS841-1, Fig. D4Wd: 16 equidistant pasos $W-R_d$; $W-G_d$; $W-B_d$; $W-N$; $rgb/cmy0 \rightarrow rgb_d$ setrgbcolor

+:-.	Q	O	C	O	C	lmno	O	O	C	O	pqrs	O	O	O	O	tuvw	O	O	O	O
xyz;	O	O	C	O	C	hijk	O	C	O	O	lmno	O	C	O	O	pqrs	O	C	O	O
tuvwxyz;	O	O	C	O	C	defg	O	O	C	O	hijk	O	O	C	O	lmno	O	O	C	O
pqrss;	O	O	C	O	C	!abc	O	O	C	O	!abc	O	O	C	O	hijk	O	O	C	O
lmno	O	O	C	O	C	+:-.	O	O	C	O	+:-.	O	O	C	O	xyz;	O	O	C	O
hijk	C	C	O	C	O	xyz;	O	O	C	O	tuvwxyz;	O	O	C	O	tuvwxyz;	O	O	C	O
defg	O	O	C	O	C	tuvwxyz;	O	O	C	O	defg	O	O	C	O	defg	O	O	C	O
!abc	O	O	C	O	C	pqrss;	O	O	C	O	!abc	O	O	C	O	!abc	O	O	C	O
10	N	R_d	G_d	B_d	Z		8	N	R_d	G_d	B_d	Z	6	N	R_d	G_d	B_d	Z		

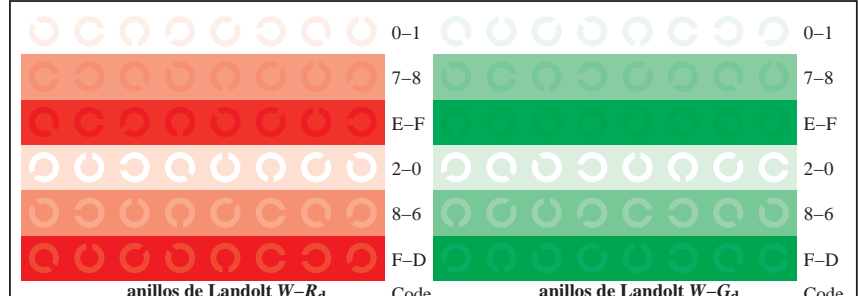
TS841-3, Fig. D5Wd: codigo y Landolt annilosN; R_d ; G_d ; B_d ; Z ; PS operator $rgb \rightarrow rgb_d$ setrgbcolor



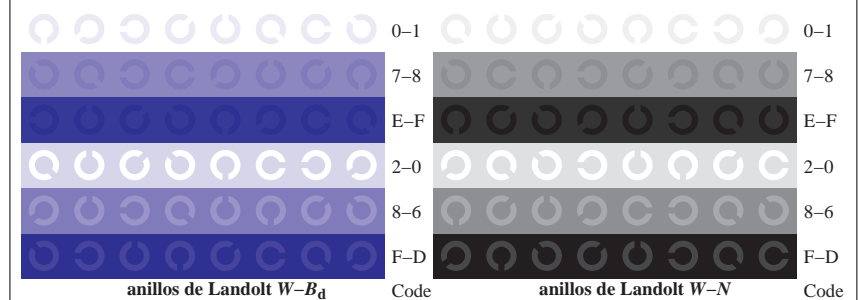
rejillas radial $W-R_d$ rejillas radial $W-G_d$ rejillas radial $W-B_d$ rejillas radial $W-N$ rejillas radial $W-P_d$



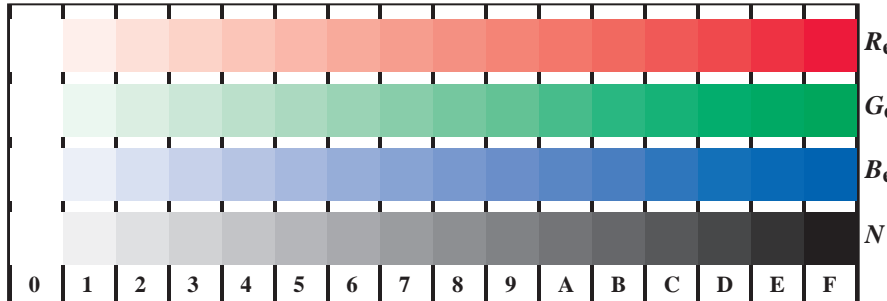
TS840-7, Fig. D3Wd: CIE 14 colores del test y 2 + 16 pasos de gris (sf); $rgb/cmy0 \rightarrow rbg_d$ setrgbcolor



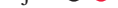
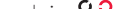
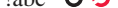
TS841-5, Fig. D6Wd: anillos de Landolt $W-R_d$; $W-G_d$; PS operator $rgb \rightarrow rgb_d$ setrgbcolor



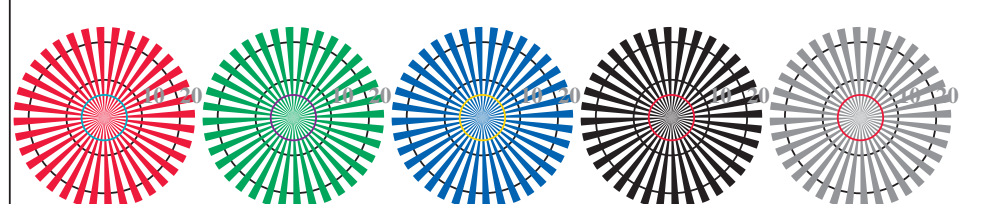
TS841-7, Fig. D7Wd: anillos de Landolt $W-B_d$; $W-N$; PS operator $rgb \rightarrow rgbd$ setrgbcolor



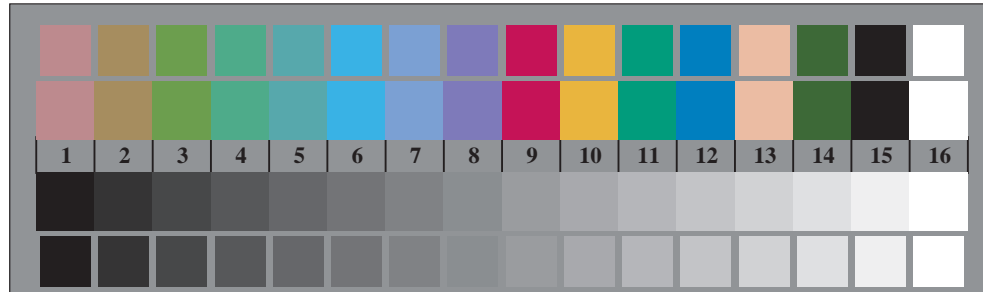
TS841-1, Fig. D4We: 16 equidistant steps $W-Re$; $W-Ge$; $W-Be$; $W-N$; $rgb/cmy0->rgb_e$ setrgbcolor

+:-.		lmno		pqrs		tuvw	
xyz;		hijk		lmno		pqrs	
tuvwxyz		defg		hijk		lmno	
pqrs		!abc		+:-.		xyz;	
lmno		+:-.		tuvwxyz		tuvwxyz	
hijk		xyz;		defg		defg	
defg		tuvwxyz		!abc		!abc	
!abc		pqrs		6	N R _e G _e B _e Z		
10	N R _e G _e B _e Z		8	N R _e G _e B _e Z			

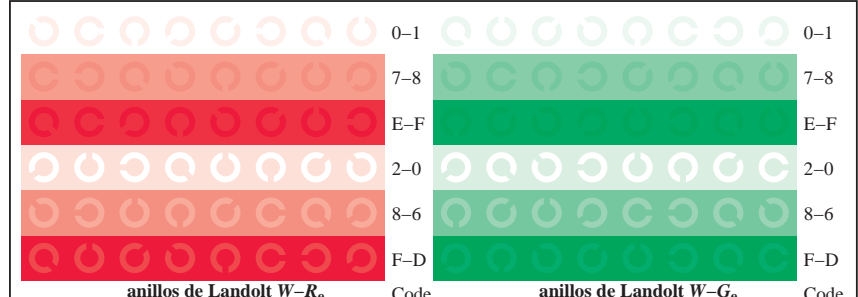
TS841-3, Fig. D5We: código y Landolt annilosN; Re ; Ge ; Be ; Z ; PS operator $rgb \rightarrow rgb_e$ setrgbcolor



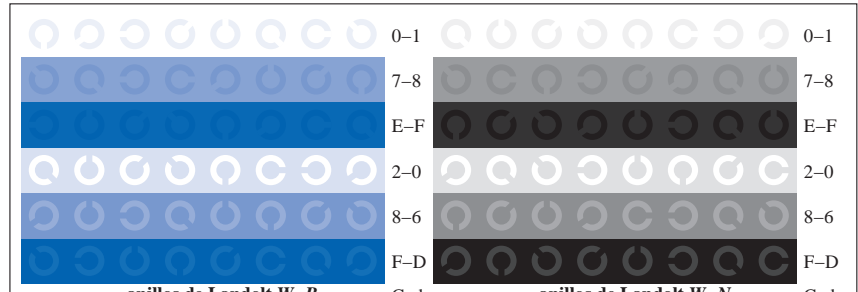
rejillas radial $W\text{-}Re$ **rejillas radial $W\text{-}Ge$** **rejillas radial $W\text{-}Be$** **rejillas radial $W\text{-}N$** **rejillas radial $W\text{-}Z$**



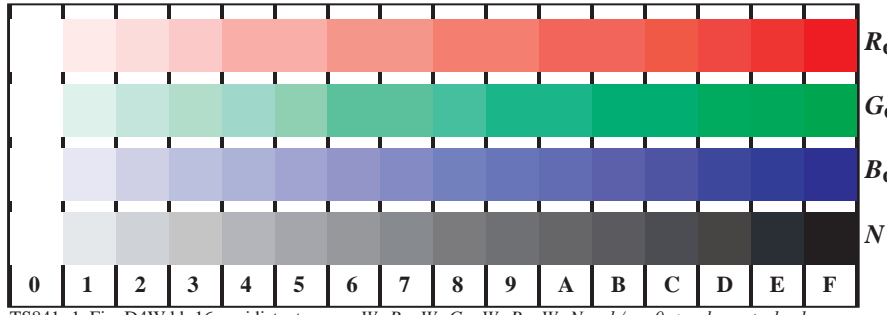
TS840-7, Fig. D3We: CIE 14 colores del test y 2 + 16 pasos de gris (sf); $rgb/cmy0 \rightarrow rgb_e$ setrgbcolor



TS841-5, Fig. D6We: anillos de Landolt $W-R_E$; $W-G_E$; PS operator $rgb \rightarrow rgb_E$ setrgbcolor

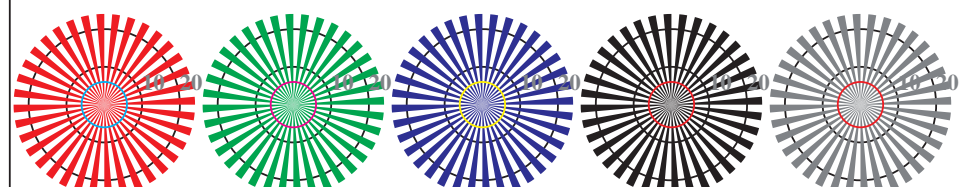


TS841-7, Fig. D7We: anillos de Landolt $W-B_e$; $W-N$; PS operator $rgb \rightarrow rgb_e$ setrgbcolor

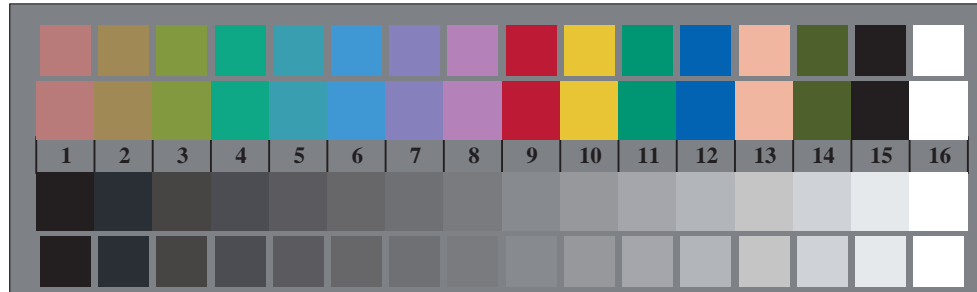


TS841-1, Fig. D4Wdd: 16 equidistante pasos $W-R_d$; $W-G_d$; $W-B_d$; $W-N$; $rgb/cmy0 \rightarrow rgb_{dd}$ setrgbcolor

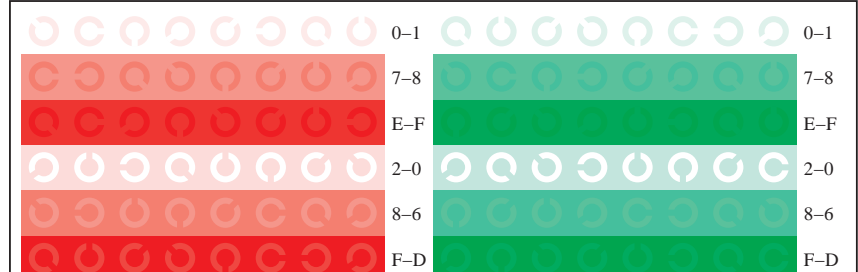
TS841-3, Fig. D5Wdd: codigo y Landolt annilosN; R_d ; G_d ; B_d ; Z ; PS operator $rgb \rightarrow r_{rgb}{}_{dd}$ setrgbcolor



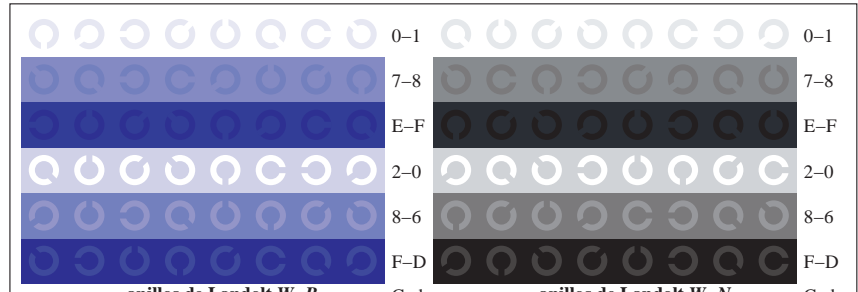
rejillas radial $W-R_d$ **rejillas radial $W-G_d$** **rejillas radial $W-B_d$** **rejillas radial $W-N$** **rejillas radial $W-Z$**



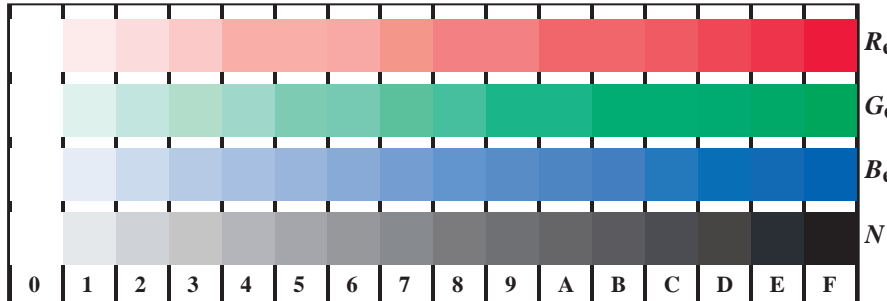
TS840-7 Fig. D3Wdd: CIE 14 colores del test y 2 + 16 pasos de gris (sf); $rgb/cmy0 \rightarrow rgh_{44}$ setrgbcolor



TS841-5, Fig. D6Wdd: anillos de Landolt $W-R_d$; $W-G_d$; PS operator $rgh \rightarrow rgh_{\perp}$; setrgbcolor

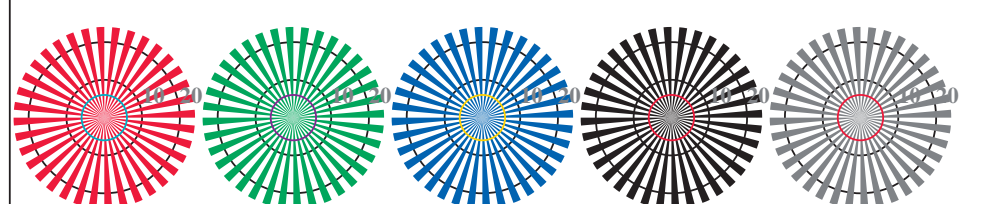


TS841-7 Fig. D7Wdd: anillos de Landolt $W-B_d$; $W-N$; PS operator $rgh \rightarrow rgh_{11}$ setrgbcolor

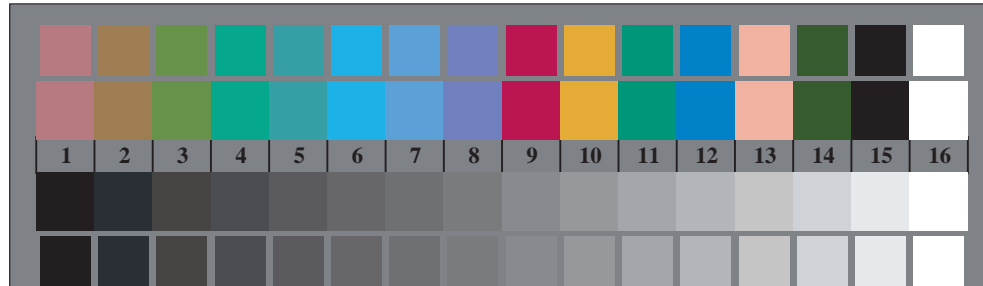


TS841-1, Fig. D4Wde: 16 equidistant pasos $W-Re$; $W-Ge$; $W-Be$; $W-N$; $rgb/cmy0 \rightarrow rgb_{de}$ setrgbcolor

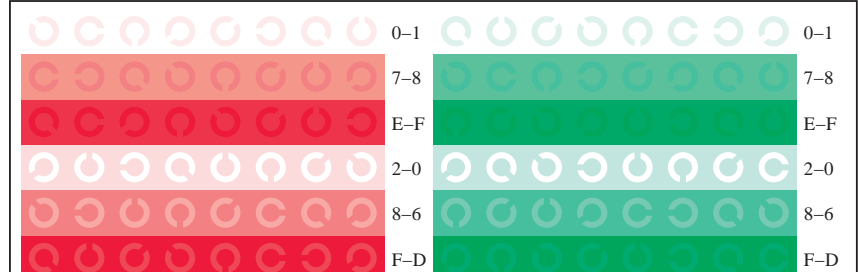
TS841-3, Fig. D5Wde: codigo y Landolt annilosN; R_E ; G_E ; B_E ; Z ; PS operator $rgb \rightarrow rgb_{de}$ setrgbcolor



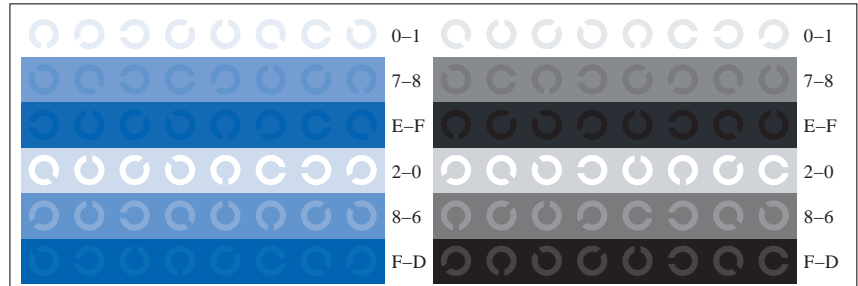
rejillas radial $W-R_e$ rejillas radial $W-G_e$ rejillas radial $W-B_e$ rejillas radial $W-N$ rej



TS840-7, Fig. D3Wde: CIE 14 colores del test y 2 + 16 pasos de gris (sf); $rgb/cm\gamma 0 \rightarrow rgb_{de}$ setrgbcolor



TS841-5, Fig. D6Wde: anillos de Landolt $W-R_e$; $W-G_e$; PS operator $rgh \rightarrow rgh$; setrgbcolor



TS841-7, Fig. D7Wde: anillos de Landolt W-Be; W-N; PS operator $rgb \rightarrow rgb_{de}$ setrgbcolor